

بررسی تاثیر عملیات حرارتی بر سختی و رفتار خوردگی پوشش الکترولس نیکل-فسفر روی آلیاژ AZ31 منیزیم

مهناز تفضلی، محمود منیر واقفی و مهدی صالحی

دانشکده مهندسی مواد، دانشگاه صنعتی اصفهان

(دريافت مقاله: ۸۹/۲/۱۹ - پذيرش مقاله: ۸۹/۶/۲۹)

چكیده

در این پژوهش برای بهبود سختی و مقاومت به خوردگی سطح، پوشش الکترولس نیکل-فسفر بر روی آلیاژ منیزیم AZ31 اعمال گردید. آزمون خوردگی پلاریزاسیون قبل و بعد از پوشش دهی روی آلیاژ پایه بدون پوشش و پوشش داده شده در محلول ۳/۵ درصد وزنی کلرید سدیم انجام شد و سختی پوشش و آلیاژ پایه قبل و بعد از عملیات حرارتی اندازه گیری شد. بررسی های میکروساختاری و مورفوولوژی سطح با استفاده از آنالیز فازی XRD و میکروسکوپ الکترونی روبشی SEM انجام گرفت. نتایج این تحقیق نشان می دهد که پوشش های الکترولس کم فسفر دارای ساختار نانو کریستالی و سخت هستند و سختی آنها با افزایش دما طی عملیات حرارتی به دلیل تشکیل فاز Ni_3P افزایش می یابد، هرچند سختی منیزیم پایه به دلیل رشد دانه کاهش و نرخ خوردگی پوشش افزایش می یابد. به همین خاطر بهترین محدوده برای عملیات حرارتی آلیاژ های منیزیم $270-230^{\circ}\text{C}$ می باشد. عملیات حرارتی در این محدوده دمایی موجب افزایش سختی پوشش به میزان HV 110 و کاهش سختی پایه تنها به میزان 14BHN می شود.

واژه های کلیدی: الکترولس نیکل، عملیات حرارتی، سختی، مقاومت خوردگی، منیزیم AZ31.

Investigation on effect of heat treatment on hardness and corrosion behavior of electroless Ni-P plating on AZ31 magnesium alloy

M. Tafazoly, M. Monirvaghefi and M. Salehi

Department of Materials Engineering, Isfahan University of Technology

Abstract

In this study, Ni-P coating on the surface of AZ31 Mg alloy was proposed by electroless plating due to improve in surface hardness and corrosion resistance. Electrochemical polarization test was done before and after coating on base alloy, with and without coating in 3/5wt%NaCl solution. The hardness of EN coating and base alloy also were evaluated before and after heat treatment, and surface morphology was studied by scanning electron microscopy (SEM). Also, microstructural changes were evaluated by X-ray diffraction (XRD) analysis. The results of this study showed that EN coatings with low phosphorus content were nano-crystalline and hard and the hardness of the coating could be increased with increasing temperature in heat treatment process, while the hardness of base alloy decreased due to grain growth and the rate of the corrosion increased. So the best range for Heat treatment of mg alloys was $230-270^{\circ}\text{C}$. heat treatment in this range would increased 110 HV hardness of the coating and decreased only 14BHN hardness of the base alloy.

Keywords: Electroless Ni-P plating, Heat Treatment, Hardness, Corrosion Resistance, AZ31 Magnesium.

E-mail of corresponding authors: mah_tafazoly@yahoo.com

مقدمه

عملیات حرارتی است^[۴] اما مشکل این جاست که افزایش دما به علت کار سرد بودن آلیاژ پایه موجب کاهش سختی آن می‌گردد^[۵]. با توجه به سختی اولیه پایین این آلیاژ و همچنین از آنجایی که سختی آلیاژهای منیزیم با افزایش دما کاهش می‌یابد، تعیین دمای مناسب عملیات حرارتی از اهمیت زیادی برخوردار است. این دما باید به نحوی انتخاب شود که با افزایش سختی پوشش کمترین افت سختی در آلیاژ پایه به وجود آید. از این رو سیکل‌های عملیات حرارتی مختلف روی نمونه‌ها اعمال گردید و سختی پوشش و آلیاژ پایه محاسبه شد. از آنجایی که مقاومت به خوردگی پایین آلیاژ‌ها منیزیم از جمله عوامل محدودیت استفاده از این آلیاژ‌ها در صنعت محسوب می‌شود در مرحله بعدی این پژوهش نقش پوشش در بهبود خواص خوردگی آلیاژ منیزیم مورد بررسی قرار گرفت. در این راستا تاثیر ضخامت پوشش و عملیات حرارتی روی مقاومت به خوردگی پوشش ارزیابی شد.

مواد و روش تحقیق

در این تحقیق از آلیاژ کارشده منیزیم AZ31-H24 به شکل ورق استفاده شد. ترکیب شیمیایی این ورق در جدول ۱ آورده شده است.

SLOPONIP70 جهت پوشش دهی از حمام تجاری ساخت شرکت اشلوتر آلمان استفاده شد که مشخصات آن در جدول ۲ آورده شده است.

نمونه‌ها در ابعاد $20 \times 20 \times 20$ mm³ تهیه و سوراخی به قطر ۱ mm برای آویزان نمودن نمونه‌ها در حمام آبکاری در یک گوشه آن ایجاد شد.

سپس نمونه‌ها توسط سمباده از جنس SiC تا شماره ۶۰۰ سمباده زنی شد و برای ایجاد زبری بیشتر تعدادی از نمونه‌ها تحت سند بلاست با ذرات SiO₂ با اندازه دانه ۷۰-۱۵۰ μm قرار گرفتند. سپس عملیات آماده سازی سطح مطابق با جدول ۳ روی نمونه‌ها انجام گرفت.

پس از آماده سازی نمونه‌ها پوشش دهی در دمای ۸۰ °C و pH ۶/۴ در زمان‌های مختلف انجام شد. به منظور بررسی

استفاده از آلیاژهای منیزیم در صنایع خودرو سازی و هواپیما رو به افزایش است. علت این امر کاهش وزن ناشی از جایگزینی این فلز به جای فولاد وآلومینیوم می‌باشد. منیزیم با دانسیته $1.7 gr/cm^3$ ، ۳۵٪ سبک‌تر از آلومینیوم و ۴ برابر سبک‌تر از فولاد است. علاوه بر مزیت سبکی، این فلز دارای مزایای دیگری نظیر سفتی بیشتر نسبت به آلومینیوم، قابلیت جذب ارتعاش و صوت و همچنین خاصیت جذب نسبتاً کم برای نوترنون‌های گرمایی است. به دلیل دمای شکل دهی بالای منیزیم و آلیاژهای آن وضعیت سطحی آن برای بسیاری از کاربردهای صنعتی مناسب نمی‌باشد [۱ و ۲]. علاوه بر اینکه فعال بودن این فلز باعث می‌شود که در برابر اکثر فلزات پیل گالوانیکی تشکیل داده و به صورت آند خورده شود. جلوگیری از خوردگی گالوانیکی نیاز به روش‌های سطحی دارد که منیزیم را در تماس با سایر فلزات ایزوله کند به علاوه سختی و مقاومت به سایش مناسب برای کاربردهای صنعتی را فراهم کند. از میان روش‌های سطحی ارایه شده برای آلیاژ‌های منیزیم الکترولس نیکل فسفر از مناسب ترین روش‌های پوشش دهی برای دستیابی به اهداف مورد نظر است^[۳]. اکثر تحقیقات درمورد الکترولس نیکل فسفر روی فولاد وآلومینیوم انجام گرفته است و گزارشات اندکی در مورد الکترولس نیکل فسفر روی منیزیم موجود است. از جمله کارهای انجام گرفته در زمینه الکترولس نیکل-فسفر روی آلیاژ منیزیم می‌توان به تحقیقات Shoesmith و همکارانش در سال ۲۰۰۹ اشاره کرد. آنها تاثیر پارامترهای حمام را روی خوردگی پوشش الکترولس نیکل فسفر روی منیزیم در حمام‌های کربناته بررسی کردند، با بهبود مقاومت به خوردگی و کاهش تخلخل را گزارش نمودند، با توجه به محدودیت در دسترس بودن حمام‌های کربناته و استفاده گسترده صنعت از حمام‌های سولفاته در این پژوهش از حمام سولفاته تجاری 70 SLOTONIP برای پوشش دهی استفاده شد و خواص سختی و مقاومت به خوردگی مورد بررسی قرار گرفت. از جمله قابلیت‌های پوشش‌های الکترولس نیکل-فسفر افزایش سختی آنها با افزایش دمای

جدول ۱. ترکیب شیمیایی ورق AZ31

Al	Zn	Mn	Si	Fe	Cu	Ni	Mg
3	1	0.5	1	0.005	0.4	0.005	bal

دانسیته جریان و پتانسیل خوردگی چهار نمونه تهیه شد. نمونه اول بدون پوشش و عملیات حرارتی تحت تست ۲۰ پلاریزاسیون قرار گرفت و نمونه های بعدی در ضخامت ۲۰ میکرون پوشش داده شدند و تحت عملیات حرارتی قرار گرفتند. عملیات حرارتی نمونه ها با استفاده از یک کوره مقاومتی در محدوده دمای ۲۰۰-۴۰۰°C انجام گرفت. برای-جلوگیری از اکسیداسیون، نمونه ها درون دو لایه فویل آلمینیومی قرار گرفتند و برای محافظت بیشتر بین دو جداره فویل پودر ذغال ریخته شد.

Philips Xpert MRD فازیابی پوشش با استفاده از دستگاه انجام گرفت و مورفولوژی سطح پوشش ها با استفاده از SEM PhilipsXL30 میکروسکوپ الکترونی روبشی بررسی قرار گرفت. سختی نمونه ها توسط دستگاه میکروسختی سنج (مدل BUEHLER) با بار ۱۰۰ گرم و زمان ۱۵ ثانیه اندازه گیری شد.

جدول ۲. مشخصات حمام تجاری SLOPONIP70

Nickel	6-8 (7) g/l
Reducer SH	40-50 (45) ml/l
Stabilizer	5-8 (7) ml/l
pH-range	6.4
Operating temperature	82

تأثیر ضخامت روی دانسیته جریان و پتانسیل خوردگی چهار نمونه تهیه شد. نمونه اول در حالت بدون پوشش تحت آزمون پلاریزاسیون قرار گرفت و نمونه های بعدی در ضخامت های ۱۰، ۱۵ و ۲۰ میکرون پوشش داده شدند و تحت آزمون ۳/۵ پلاریزاسیون قرار گرفتند. آزمون پلاریزاسیون در محلول درصد وزنی کلرید سدیم انجام شد که شرایط استاندارد تست خوردگی پلاریزاسیون برای پوشش های الکترولس می باشد. این آزمون توسط دستگاه PARSTAT 2237 انجام گرفت. در مرحله بعدی برای بررسی تأثیر عملیات حرارتی روی

جدول ۳. مراحل آماده سازی سطح قبل از پوشش دهن

ردیف	مرحله	ترکیب و شرایط
۱	تمیز کاری التراسونیک	استون ۱۰ min دمای محیط،
۲	تمیز کاری قلیایی	KOH ۵۰ g/l Na ₃ PO ₄ ۱۰ g/l Temperature ۳۳۳ ± ۵ K Agitation Mild, magnetic Time 10 min
۳	اکسید زدایی اسیدی	CrO ₃ ۱۲۵ g/L HNO ₃ (70% V/V) ۱۱۰ mL/L Temperature Ambient (293K) Agitation Vigorous, mechanical Time 45 s
۴	فعال سازی فلوریدی	HF (40%V/V) ۳۸۵ mL/L Temperature Ambient (293K) Agitation Mild, magnetic Time 10 min

اندازه دانه با توجه به معادله شرر (معادله ۱) 22 nm در حالت اولیه محاسبه شد. چون رشد دانه یک فرآیند نفوذی است و ضریب نفوذ ارتباط مستقیمی با دما دارد [۹]، با انجام عملیات حرارتی رشد دانه های فاز نانو کریستالی مشاهده شد و اندازه دانه به 25 nm رسید.

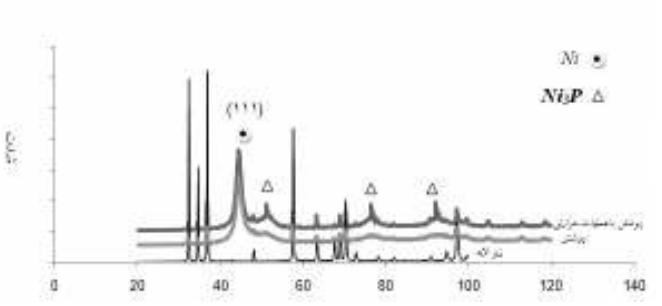
$$d_{XRD} = \frac{k\lambda}{\beta \cos(\theta)} \quad \text{معادله ۱}$$

که در آن k مقدار ثابت $9/4$ ، λ طول موج اشعه X استفاده شده بر حسب نانومتر، β عرض پیک در نیم ارتفاع و θ زاویه تفرق می باشد برای اندازه گیری پارامتر β از نرم افزار Sigma Plot.V9.01 استفاده شد که یک نرم افزار برای رسم نمودار و برآذش منحنی است. اطلاعات پیک هایی که به منظور اندازه گیری اندازه دانه باید عرض آنها در نیم ارتفاع شان مشخص می شد به نرم افزار داده شد و نرم افزار پیک موردنظر را با تابع گوسی چهار متغیره برآذش، و معادله ریاضی پیک تعیین شد. برای بررسی تغییرات سختی، پس از هر سیکل عملیات حرارتی سختی پوشش و پایه محاسبه شد(جدول ۴). برای محاسبه سختی، سطح مقطع نمونه پوشش داراز محل آلیاژ پایه و قسمت پوشش دار تحت تست میکروسختی قرار گرفت بر اساس نتایج به دست آمده مشاهده می شود افزایش دمای عملیات هر چند به دلیل رسوب فاز سخت کریستالی Ni_3P با استحکام و مدول برشی بالا منجر به افزایش سختی پوشش می شود، اما به طور هم زمان دلیل افزایش اندازه دانه منیزیم افزایش یافته و سختی آلیاژ پایه کاهش می یابد(شکل ۲ و ۳).

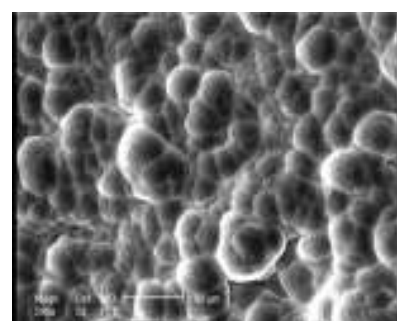
نتایج و بحث

عملیات حرارتی پوشش

عملیات حرارتی با تعیین ساختار کریستالی یک مرحله تعیین کننده در تغییرخواص پوشش های الکترولیس با درصد های مختلف فسفر می باشد [۷, ۶]. حتی در پوشش های کم فسفر که به صورت کریستاله ایجاد می شوند عملیات حرارتی با تغییر اندازه دانه خواص سطحی را تغییر می دهد. پارامتر عملیاتی تعیین کننده درصد فسفر و به تبع آن میزان کریستاله شدن پوشش، pH محلول و ترکیب آن می باشد. با افزایش pH، واکنش کاهش نیکل تسريع می شود و واکنش کاهش فسفر کند می گردد. به همین خاطر با افزایش pH محلول مقدار فسفر کاهش می یابد. از آنجایی که مقاومت به خوردگی آلیاژ منیزیم در محلول های اسیدی بسیار پایین است معمولاً از pH بیشتر از $6/4$ برای پوشش دهی روی آنها استفاده می شود. پوشش دهی در این شرایط باعث ایجاد پوشش کم فسفر می گردد. بر اساس سایر پژوهش های انجام گرفته بر روی الکترولیس نیکل-فسفر از جمله تحقیقات Ray Taheri در سال ۲۰۰۲ پوشش های کم فسفر دارای سختی بالاتر نسبت به سایر پوشش های الکترولیس با درصد بالاتر فسفر می باشند [۸]. ساختار پوشش کم فسفر ایجاد شده در شرایط ذکر شده در شکل ۱-الف نشان داده شده است. برای تعیین اندازه دانه الگوی پراش پوشش ها در حالت اولیه و پس از عملیات حرارتی به دست آمد. همان گونه که در شکل ۱-ب مشاهده می شود پس از پوشش دهی پیک باریک مربوط به پراش $\{111\}$ فاز نانو کریستالی نیکل در $2\theta = 45^\circ$ درجه مشاهده شد.



(ب)



(الف)

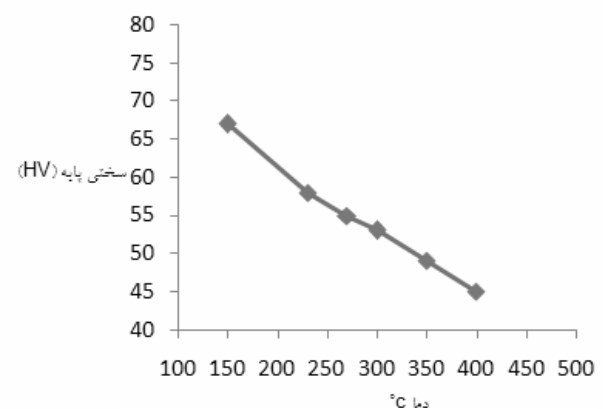
شکل ۱. الف تصویر SEM از سطح پوشش، ب الگوی پراش زیر لایه و پوشش در حالت اولیه و پس از عملیات حرارتی

مقاومت به خوردگی پوشش

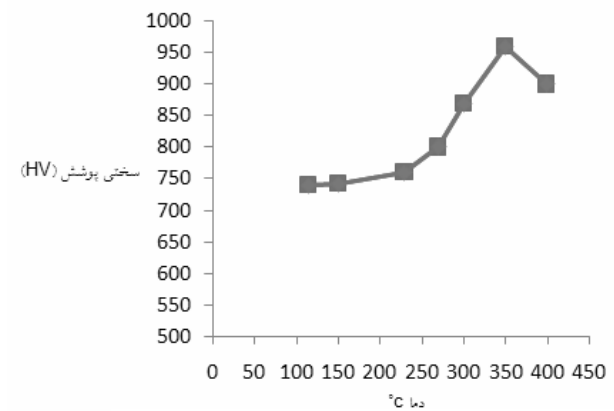
منحنی های پلاریزاسیون پتانسیو دینامیک مربوط به آلیاژ پایه مینیزیم بدون پوشش و پوشش دار در ضخامت ها و عملیات حرارتی های مختلف در محلول $3/5\text{wt}\%$ NaCl ۴۰ و ۵۰ آورده شده است. پارامترهای پتانسیل خوردگی و دانسیته جریان خوردگی با استفاده از روش برونویابی تافل در جدول ۵ و ۶ آورده شده است.

در طی قرارگیری نمونه در حمام ذرات ناخالصی و حباب های هیدروژن تولید شده منجر به تشکیل حفره در پوشش می شوند. این حفره ها می توانند بسته یا باز باشند. از آنجایی که پوشش Ni-P ایجاد شده روی آلیاژ مینیزیم مثالی از یک پوشش کاتدی روی زیر لایه آندی است، عیوب موجود در پوشش نظیر تخلخل (حفره های باز) و میکرو ترک ها می توانند مسیری برای ارتباط الکترولیت با پایه و وقوع خوردگی گالوانیک باشند. نواحی از آلیاژ پایه که در تماس با الکترولیت قرار می گیرد به عنوان نواحی آندی کوچک عمل کرده و به خاطر وجود نواحی کاتدی بزرگ پوشش به شدت خوردگی می شود. در این حالت ممکن است میزان خوردگی بیشتر از حالتی باشد که آلیاژ پایه بدون پوشش در تماس با الکترولیت قرار گیرد. در شکل ۶ نمونه آلیاژ پوشش داده شده در ضخامت ۱۰ میکرون پس از قرار گیری در محلول الکترولیت $3/5$ درصد وزنی کلرید سدیم آورده شده است. همان طور که مشاهده می شود الکترولیت با عبور از عیوب و تخلخل های نشان داده شده در پوشش منجر به خوردگی آلیاژ مینیزیم پایه شده است.

به همین دلیل دمای کمتر از 300°C برای عملیات حرارتی پوشش Ni-P روی آلیاژ AZ31 مینیزیم پیشنهاد می شود. عملیات حرارتی در این محدوده دمایی موجب افزایش سختی پوشش و کاهش اندازه سختی پایه می شود.



شکل ۲. نمودار تغییرات سختی پایه با افزایش دمای عملیات حرارتی



شکل ۳. نمودار تغییرات سختی پوشش با افزایش دمای عملیات حرارتی

جدول ۴. تغییرات سختی پوشش و فلز پایه در دماهای مختلف عملیات حرارتی

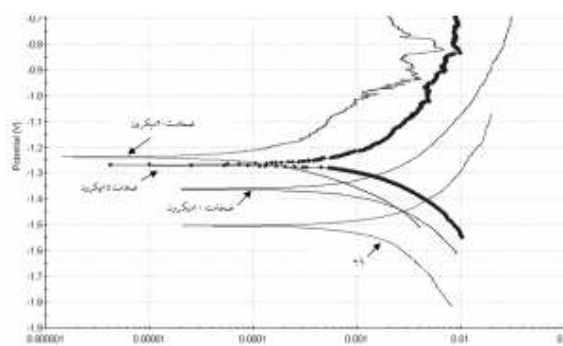
درصد فسفر	(°C) دما	(h) زمان	سختی پوشش (HV)	سختی پایه (BHN)
3	115	1	720	70
3	150	1	743	67
3	230	1	760	58
3	270	1	830	56
3	300	1	870	53
3	350	1	960	49
3	400	1	900	45

خوردگی آلیاژ پایه در ضخامت ۱۵ میکرون مشاهده نشد. پس می توان نتیجه گرفت تا ضخامت ۱۰ میکرون خوردگی آلیاژ پایه مشاهده می شود و افزایش ضخامت به ۱۵ میکرون باعث حذف خوردگی آلیاژ پایه می شود. در جدول ۵ پارامتر های محاسبه شده از نمودارهای پلاریزاسیون نمونه تهیه شده از آلیاژ پایه بدون پوشش و پوشش داده شده در ضخامت های مختلف آورده شده است. مطابق با داده های این جدول مشاهده می شود که با افزایش ضخامت پوشش دانسیته جریان خوردگی آن کاهش و در نتیجه مقاومت به خوردگی آن افزایش می یابد. دلیل این امر را می توان کاهش تخلخل های موجود در پوشش، بسته شدن تخلخل های باز و کاهش امکان رسیدن محلول الکترولیت به آلیاژ پایه عنوان کرد [10].

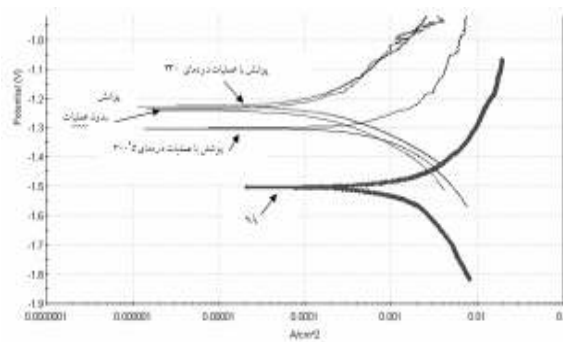
از آنجایی که عملیات حرارتی برای بسیاری از کاربردهای پوشش های الکترولیس پیشنهاد می شود و انجام این عملیات منجر به آزادسازی تنش ها، انقباض پوشش و بهبود چسبندگی پوشش می گردد، تأثیر عملیات حرارتی روی مقاومت به خوردگی پوشش بررسی شد. با توجه به جدول ۶ مشاهده می شود که افزایش نرخ خوردگی با افزایش دمای عملیات حرارتی رخ می دهد. علت این امر را می توان تشکیل پیل های گالوانیک در اثر رسوب فسفید نیکل، رشد دانه های نیکل و همچنین تشکیل ترک های انقباضی در پوشش عنوان کرد.

نتیجه گیری

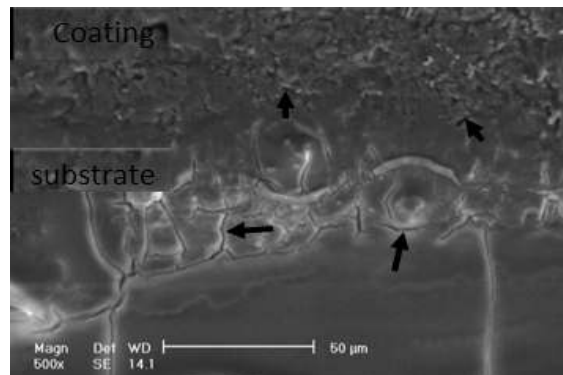
- پوشش دهی در حمام سولفاته در شرایط PH ۶/۴ و دمای ۸۰°C باعث ایجاد پوشش کم فسفر نیکل-فسفر روی سطح می شود. این پوشش ها به دلیل نانو کریستال بودن از سختی اولیه HV ۷۲۰ برخوردارند.
- انجام عملیات حرارتی به دلیل رسوب فاز Ni_3P باعث افزایش سختی می شود. افزایش دما هرچند موجب افزایش سختی پوشش می گردد اما سختی پایه را کاهش می دهد به همین دلیل معمولاً دمای کمتر از ۳۰۰°C برای عملیات حرارتی مینیزیم پیشنهاد می شود.



شکل ۴. منحنی پلاریزاسیون تألف پایه مینیزیمی و پوشش در ضخامت های مختلف



شکل ۵. منحنی پلاریزاسیون تألف پایه مینیزیمی و پوشش با عملیات حرارتی



شکل ۶. تخلخل های موجود در پوشش و خوردگی زیر لایه

جدول ۵. پارامترهای محاسبه شده از نمودارهای پلاریزاسیون نمونه های آلیاژ پایه بدون پوشش و پوشش داده شده در ضخامت های مختلف

ضخامت (μm)	پتانسیل خوردگی (Vvs. SCE)	جریان خوردگی (mA/cm²)
۱۰	-1/۵۱	۱/۳۲
۱۵	-1/۳۵	۰/۶۶
۲۰	-1/۲۳	۰/۵۸
۲۰	-1/۲۲	۰/۱۱

جدول ۶. پارامترهای محاسبه شده از نمودارهای پلاروگرامیون نمونه های آلیاژ پایه بدون پوشش و پوشش داده شده در عملیات حرارتی های مختلف

ضخامت (μm)	دما	زمان	پتانسیل خوردگی (V vs. SCE)	جریان خوردگی (mA/cm^2)
۲۰	-	-	-۱/۵۱	۱/۳۲
۲۰	-	-	-۱/۲۲	۰/۱۱
۲۰	۲۳۰	۲	-۱/۲۲	۰/۱۶
۲۰	۳۰۰	۲	-۱/۳۲	۰/۴۹

منابع

- M. K. Kulekci, *Magnesium and its alloys applications in automotive industry*, Int J Adv Manuf Technol 39(2008)851–865.
- D. Eliezer, E. aghion, F. h. (SAM) froes, *Magnesium Science, Technology and Applications*, Advanced Performance Materials 5(1998)201–212.
- KH. M. shartal , G. J. Kipouros, *Electroless Nickel Phosphorus Plating on AZ31*, Metallurgical and Materials Transactions B 40(2009)208-222.
- E. Ghali, W. Dietzel, and K. U. Kainer, *General and Localized Corrosion of Magnesium Alloy A Critical Review*, Journal of Materials Engineering and Performance, 13(2003)354-363.
- Z. Liu*and W. Gao, *The effect of substrate on the electroless nickelplating of Mg and Mg alloys*, Surface & Coatings Technology 200(2006)3553–3560.
- J. Lia,* Z. Shaob, X. Zhang and Y. Tian, *The electroless nickel-plating on magnesium alloy using NiSO4d6H2O as the main salt*, Surface & Coatings Technology 200(2006)3010–3015.
- K. G. Keong, W. Sha*and S. Malinov, *Hardness evolution of electroless nickel-phosphorus deposits with thermal processing*, Surface and Coatings Technology 168 (2003) 263–274.
- M. Yan, H. G. Ying and T. Y. Ma, *Improved microhardness and wear resistance of the as-deposited electroless Ni-P coating*, Surface & Coatings Technology 202(2008)5909–5913.

۳- تا ضخامت ۱۰ میکرون پوشش دهی الکترولیس نیکل فسفر روی آلیاژ مینیزیم، خوردگی آلیاژ پایه مشاهده می شود و افزایش ضخامت به ۱۵ میکرون باعث حذف خوردگی آلیاژ پایه می شود.

۴- با افزایش ضخامت پوشش مقاومت به خوردگی آن افزایش و دانسیته جریان آن می یابد. بنحوی که افزایش ضخامت از ۱۰ میکرون به ۲۰ میکرون باعث می شود دانسیته جریان ۶ برابر کاهش پیدا کند. دلیل این امر را می توان ماهیت متخلخل پوشش و کاهش میزان تخلخل با افزایش ضخامت دانست.

۵- انجام عملیات حرارتی به دلیل تشکیل پیل های گالوانیک در اثر رسوب فسفید نیکل، رشد دانه های نیکل و همچنین تشکیل ترک های انقباضی در پوشش منجر به کاهش مقاومت به خوردگی پوشش می شود.

9. L. Xue-song, Z. Wen-xue, J. Zhong-hao , *Preparation and property evaluation of electroless Ni-P coatings on AZ91D magnesium alloy*, Trans. Nonferrous Metallurgy Society China 17(2007)835-840.

۱۰. سعید احمدی زاده، سید محمود منیر واقفی، تأثیر ضخامت پوشش و زبری زیر لایه روی رفتار خوردگی پوشش های الکترولیس Ni-P [یجاد شده بر روی آلیاژ Al5083]، پوشش های سطحی، زمستان ۸۷، شماره ۲۶، ۱۷-۱۲.